

A KÖRSZIMMETRIKUS *PELIKÁN*-FELÜLET ALAKÚ SÁTOR SZABÁSMINTÁJÁRÓL

H. Pálfalvi Dóra* - Hegedus István**

RÖVID KIVONAT

A tanulmányban azt mutatjuk meg, hogy hogyan lehet egy körszimmetrikus feszített sátorhéj szerelési alakjának felvétele után a sátor szabásmintájának elkészítéséhez szükséges feszültségmentes alakot meghatározni.

1. BEVEZETÉS

A sátrak többszörösen görbült felületszerkezetek, melyeket sík ponyvaanyagból kell előállítani. A felület görbületeit egyrészt megfelelő szabásminta alkalmazásával, másrészt a ponyvaanyag kicsiny rugalmas alakváltozásaival hozzák létre.

A mai gyakorlatban használt ponyvák szálerosítésszintetikus anyagok, melyek két alkotóelemből állnak: textilbetétből és műanyag filmből. A hagyományos textilbetét egymásra merőleges irányban vezetett nagy szilárdságú szálakból készül, szövési technológiával. A szövet mechanikai tulajdonságai hossz- és vetülékirányban különbözőek. Mivel ez kedvezőtlen lehet a felhasználhatóság szempontjából, használnak olyan speciális szövéstechnológiával készülő, vagy ún. nemszött textíliát is, melyekben három, vagy akár meghatározhatatlan számú irányban futnak a szálak. A textilbetétet egyik vagy mindkét oldalán műanyag film burkolja, amely védi a külső hatásoktól, de befolyásolja a ponyva eredő mechanikai tulajdonságait is. [4]

A merevség szempontjából a szálak iránya meghatározó. Ha elhanyagoljuk az izotrópnak tekinthető műanyag rétegek mechanikai szerepét, a hagyományos szövésű ponyva ún. hiányos merevségű ortotróp felület. Hiányos merevségű felületen nem alakulhat ki tetszőleges membránállapot; a szerelési alak meghatározásánál feltételezett *Pelikán*-féle feszültségállapot létezéséhez az szükséges, hogy a szálirányok mindenütt a felület esés-, ill. szintvonalainak irányai legyenek.

A kitüntetett merevségi irányokat akkor is a szálirányok jelölik ki, ha a hiányos merevség elkerülése céljából figyelembe vesszük az izotróp rétegek mechanikai közreműködését. A cikkben szereplő körszimmetrikus sátorfelületet ortotróp héjnak tekintjük, amelyben a szálirányok megegyeznek a felület meridián-, ill. gyűrűirányával. Ezzel a feltételezéssel hiányos merevségű felület esetén is eleget teszünk a *Pelikán*-féle feszültségállapot létezésére vonatkozó feltételnek.

* okl. építőmérnök, PI-Hun Mérnöki Tervező Kft.

** okl. mérnök, a musz. tud. doktora, egyetemi tanár, BME Hidak és Szerkezetek Tanszéke

A szabásminta elkészítését egy alakfelvételi számítás előzi meg, melynek eredményeként megkapjuk a sátor szerelési alakját. (Szerelési alaknak a tehermentes, feszítési sajátfeszültségi állapotban lévo sátoralakot nevezzük.) Ilyen alakok a meghatározásával korábbi munkáinkban [3,6] foglalkoztunk.

Az alakfelvételi számításokkal meghatározott szerelési alak tehát az elofeszítési feszültség alatt álló ponyva alakja, a szabásminta ezzel szemben feszültségmentes állapotra vonatkozik. (A feszültségek hatására létrejövö megnyúlás több %-os is lehet, ami például egy 30 m ívhosszúságú ponyvánál akár 2 m körüli értéket is jelenthet [4].) Ezért eloször a szerelési alakból vissza kell számítani a felület feszítés elotti, feszültségmentes alakját, majd ebbol az alakból kell meghatározni a szabásmintát.

A szabásminta eloállításának szokásos módszere [2] az, hogy a felületet egy síkháromszögekbol álló hálózattal fedjük le, amelynek csomópontjai a felületen fekszenek. Ha a háromszögek méretét elegendoen kicsinyre választjuk, elhanyagolható a síkháromszögeknek és a felületi háromszögeknek a felület görbült voltából adódó eltérése, de a hálózat a csomópontokban összeéros csúcsok szögösszegének a 2π -tol való eltérésevel "emlékezik" a felület zérustól különbözö Gauss-féle görbületére [1]. Megfelelo vágási vonalak beiktatásával azonban a hálózat így is síkba terítheto, azaz a sík ponyván föl lehet rajzolni olyan háromszögek sávyszeru láncolatait, amelyek összeillo éleit egymáshoz rögzítve a görbült felület elfogadhatóan közelítö hálózat összeáll. Ezt a rajzot tekintjük a sátor szabásmintájának. A háromszögekkel történö lefedésbol adódó pontatlanságokat az anyag kicsiny nyúlásokkal és szögtorzulásokkal küszöböli ki.

A gyakorlatban a sávok szélességét kicsiny görbületu felület esetén a ponyvaanyag gyártási szélessége határozhatja meg, de nagy görbületu felületek esetén általában ennél keskenyebb méretet kell alkalmazni. Ugyancsak el kell térni a gyártási szélességtol, ha a ponyva szálirányával követnünk kell a felület kijelölt felületi irányait.

A következö számítások körszimmetrikus *Pelikán*-felületekre vonatkoznak, melyek meridiánjának alakja logaritmus görbe. A felületeknek két pereme van: az alapsíkon fekvö kör és egy felso, árbocon függesztett, az elobbivel koncentrikus gyuru. A szerelési alak eloállítása úgy történhet, hogy a külso és a belso peremgyurure még a talajon ráfeszítik a ponyvát, majd a belso gyurut a központban álló függöleges árbocon felhúzva addig emelik, míg a ponyva felveszi végleges alakját.

2. A FESZÜLTSEGMENTES ALAK VISSZASZÁMÍTÁSA

Az 1. ábra a feszültségmentes és a szerelési alakot mutatja. Jelölje a szerelési alak meridiánjának koordinátáit r és z , jelölje ugyanezen felületi pontok koordinátáit a ponyva feszültségmentes állapotában r_0 és z_0 .

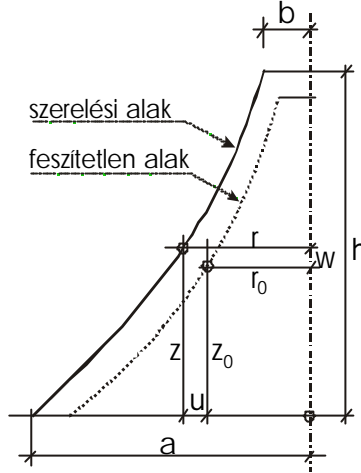
Az ábrán látható, hogy a feszítés, azaz a belso peremgyuru emelése közben a görbe pontjainak helyzete nemcsak függöleges irányban változik, hanem a mozgatas hatására sugárirányban is tágul. A feszítés során létrejövö elmozdulások:

$$u = r - r_0,$$

$$w = z - z_0.$$

A vizsgálatot a szerelési állapot szerinti alakból kiindulva kell végeznünk. A *Pelikán*-féle feszültségállapotban lévo feszített körsátor meridiángörbéjének általános alakja

$$z(r) = a \cdot \left(C_1 + C_2 \cdot \ln \frac{r}{a} \right). \quad (1.a)$$



1. ábra: A meridián alakja megfeszítés előtt és után

Ha a -nak az alapkör sugarát tekintjük, továbbá b -vel jelöljük a belső kör sugarát, Ha a -nak az alapkör sugarát tekintjük, továbbá b -vel jelöljük a belső kör sugarát, h -val a két perem távolságát, az (1.a)-ban szereplő konstansok határozottá tehetők:

$$z(r) = C \cdot a \cdot \left(1 - \ln \frac{r}{a} \right), \quad \text{ahol } C = \frac{h}{a \cdot \left(1 - \ln \frac{b}{a} \right)}. \quad (1.b)$$

A *Pelikán*-féle feszültségállapot a redukált membránerek egyenlőségét jelenti [1]. Jelölje n_0 a konstans redukált metszeterot. A felületi metszeterok n_0 és $z(r)$ alapján az alábbi képletekkel számíthatók:

$$N_a = n_0 \cdot \sqrt{1 + z_r^2}, \quad N_J = n_0 \cdot \frac{1}{\sqrt{1 + z_r^2}}, \quad (2.a,b)$$

ahol a meridián irányát (\mathbf{a}) ill. a gyuruirányt (\mathbf{J}) indexek jelölik, r index pedig az r szerinti deriváltat jelzi.

A meridián- ill. gyuruirányú nyúlások a felületi metszeterok alapján:

$$\mathbf{e}_a = \frac{N_a}{E_a \cdot t} - \frac{\mathbf{n}_a \cdot N_J}{E_a \cdot t} = \frac{n_0}{E_a \cdot t} \cdot \left[\sqrt{1 + z_r^2} - \mathbf{n}_a \cdot \frac{1}{\sqrt{1 + z_r^2}} \right], \quad (3.a)$$

$$\mathbf{e}_J = \frac{N_J}{E_J \cdot t} - \frac{\mathbf{n}_J \cdot N_a}{E_J \cdot t} = \frac{n_0}{E_J \cdot t} \cdot \left[\frac{1}{\sqrt{1+z_r^2}} - \mathbf{n}_J \cdot \sqrt{1+z_r^2} \right], \quad (3.b)$$

ahol E_a ill. E_J az ortotróp ponyva adott irányú rugalmassági modulusait, \mathbf{n}_a ill. \mathbf{n}_J a harántkontrakciós tényezők, t a vastagságot jelöli.

2.1. A vízszintes irányú feszítési elmozdulás

A feszítés hatására a felület r_0 koordinátájú pontjának a forgástengelytől mért A feszítés hatására a felület r_0 koordinátájú pontjának a forgástengelytől mért távolsága r_0 -ról r értékre változik. A megváltozást a feszítési elmozdulással, ill. a feszítési nyúlással kifejezve:

$$r = r_0 + u = r_0(1 + \mathbf{e}_J),$$

tehát

$$r_0 = \frac{r}{1 + \mathbf{e}_J}. \quad (4.a)$$

Alakítsuk át a (4.a) képletet úgy, hogy a benne szereplo törtet \mathbf{e}_J hatványsorába fejtsük és kicsinységük miatt elhagyjuk \mathbf{e}_J egynél magasabb kitevoju tagjait. Így r_0 -ra az alábbi közelítést kapjuk:

$$r_0 \approx (1 - \mathbf{e}_J) \cdot r. \quad (4.b)$$

Ezt a kifejezést úgy értelmezhetjük, hogy a feszültségmentes alakra jó közelítést ad, ha azt a szerelési alaknak a feszítési nyúlással ellentett nagyságú fajlagos alakváltozások hatására megváltozott alakjának tekintjük. Az deformáció (2.b) képletét (4.b)-be helyettesítve tehát a feszültségmentes alak pontjainak alaprajzi helye meghatározható, a sugárirányú feszítési elmozdulást pedig az

$$u(r) = \mathbf{e}_J \cdot r \quad (5)$$

képlet adja. A képletet pontosabbá lehet tenni az \mathbf{e}_J szerinti sorfejtésben figyelmen kívül hagyott kvadrátikus stb. tagok figyelembevételével, de erre általában nincs szükség, mert a gyururány feltételezésünk szerint az ortotrópia egyik "eros" iránya.

2.2. A függoleges irányú feszítési elmozdulás

A w függoleges irányú feszítési elmozdulás meghatározása összetettebb feladat. Ehhez eloször fel kell írni a feszítetlen meridián ds_0 elemi hosszát majd annak megváltozott ds hosszát, amelyekbol \mathbf{e}_a származtatható.

$$ds_0 = \sqrt{dr_0^2 + dz_0^2} = dr_0 \sqrt{1 + \left(\frac{dz_0}{dr_0} \right)^2}, \quad (6.a)$$

$$ds = \sqrt{(dr_0 + du)^2 + (dz_0 + dw)^2}. \quad (6.b)$$

Emeljük ki elobb ds_0 -t az (6.b) képletben jobboldalon szereplo tagból:

$$ds = ds_0 \sqrt{1 + \frac{2dr_0 du + 2dz_0 dw}{ds_0^2} + \left(\frac{du}{ds_0}\right)^2 + \left(\frac{dw}{ds_0}\right)^2}, \quad (6.c)$$

majd írjuk fel az \mathbf{e}_a meridián irányú megnyúlást az (6.a) és (6.c) alapján:

$$\mathbf{e}_a = \frac{ds - ds_0}{ds_0} = \sqrt{1 + 2 \cdot \frac{dr_0 du + dz_0 dw}{ds_0^2} + \left(\frac{du}{ds_0}\right)^2 + \left(\frac{dw}{ds_0}\right)^2} - 1 \quad (7)$$

A (7) kifejezés négyzetgyökös tagját binomiális sorba fejtve, majd a nagyságrendi különbség miatt elhanyagolva a hányadosok elsonél magasabb fokú hatványait, végül ds_0 -t az (6.a) második alakja szerint behelyettesítve az alábbi, tovább egyszerűsíthető alakhoz jutunk:

$$\mathbf{e}_a \approx \frac{dr_0 du + dz_0 dw}{ds_0^2} = \left(\frac{du}{dr_0} + \frac{dz_0}{dr_0} \frac{dw}{dr_0} \right) \left[1 + \left(\frac{dz_0}{dr_0} \right)^2 \right]^{-1}. \quad (8)$$

További egyszerűsítésként alkalmazzuk a (8) kifejezésre is a (3.b) képlettel kapcsolatban megfogalmazott értelmezés-cserét, azaz tekintsük a feszültségmentes alakot a szerelési alak feszítési nyúlások ellentettjei hatására megváltozott alakjának. Ez formálisan csak annyit jelent, hogy elhagyhatjuk a (8)-ban szereplo dr_0 és dz_0 növekmények 0 indexeit. Az így módosított képletből a w függőleges elmozdulás és az r sugár dw , ill. dr differenciáljának hányadosát ki lehet rendezni úgy, hogy az egyenlet másik oldalán r ismert függvényei szerepeljenek, ezért a differenciálhányadost $w(r)$ függvény deriváltjának tekintve maga a $w(r)$ függvény is előállítható egy határozatlan integrálás elvégzésével. Ha dz/dr helyére a rövidség kedvéért újból z_r -t írunk, $u(r)$ -t pedig az (5) szerinti $\mathbf{e}_J \cdot r$ szorzattal helyettesítjük, $w(r)$ -re az alábbi integrálalakot kapjuk:

$$w(r) = \int \left[\mathbf{e}_a \cdot \frac{1 + z_r^2}{z_r} - \frac{\mathbf{e}_J}{z_r} - \frac{r}{z_r} \cdot \frac{d\mathbf{e}_J}{dr} \right] dr. \quad (9)$$

A képletben a vízszintes irányú nyúlás (\mathbf{e}_J) is szerepel, ami azt mutatja, hogy mind a meridián-, mind a gyuruirányú merevség befolyással van a függőleges elmozdulásra.

A (9) kifejezésbe $z(r)$ (1.b) szerinti alakját helyettesítve az integrálás képletszerűen elvégezhető [5], és $w(r)$ -re az alábbi összefüggést adja:

$$w(r) = \frac{n_0}{C \cdot a \cdot t} \left[-\frac{A(r)}{E_a} - \frac{B(r)}{E_J} + \left(\frac{\mathbf{n}_a}{E_a} + \frac{\mathbf{n}_J}{E_J} \right) \cdot D(r) + E(r) \right], \quad (10)$$

ahol $A(r) = -\frac{(\sqrt{r^2 + C^2 \cdot a^2})^3}{r} + \frac{3}{2} \cdot r \cdot \sqrt{r^2 + C^2 \cdot a^2} + \frac{3}{2} \cdot C^2 \cdot a^2 \cdot \operatorname{arsh} \frac{r}{C \cdot a},$

$$B(r) = \frac{1}{2} \cdot r \cdot \sqrt{r^2 + C^2 \cdot a^2} - \frac{1}{2} \cdot C^2 \cdot a^2 \cdot \operatorname{arsh} \frac{r}{C \cdot a},$$

$$D(r) = \frac{1}{2} \cdot r \cdot \sqrt{r^2 + C^2 \cdot a^2} + \frac{1}{2} \cdot C^2 \cdot a^2 \cdot \operatorname{arsh} \frac{r}{C \cdot a}$$

és
$$E(r) = r^2 \cdot \left(\frac{1}{E_J} \cdot \frac{r}{\sqrt{r^2 + C^2 \cdot a^2}} - \frac{n_J}{E_J} \frac{\sqrt{r^2 + C^2 \cdot a^2}}{r} \right).$$

A (10) kifejezéssel meghatározható a $z(r)$ görbe bármely pontjának függőleges elmozdulása, mely egyben azt is jelenti, hogy visszaszámítható a feszültségmentes alak pontjainak magassági koordinátája is:

$$z_0(r) = z(r) - w(r).$$

3. FESZÍTÉS A PEREM FÜGGŐLEGES ELMOZDÍTÁSÁVAL

Tekintsük feladatunknak, hogy meghatározzuk, milyen d nagyságú feszítési úton valósul meg a sátor elofeszítése, azaz mennyivel kell még továbbemelni a gyurut attól az állapottól, amikor - az önsúlyból származó feszültséget elhanyagolva - még éppen nincs feszültség a ponyvában ahhoz, hogy elérjük az n_0 Pelikán-féle feszültségállapotot. A válasz az elozo szakasz eredményeiből kiolvasható, de más utat is követhetünk.

Használjuk d meghatározásához a felületre ható külső és belső erők elmozduláson végzett munkájának egyensúlyát. A külső saját munka (W_k) a peremerők munkája, mely a kilépo metszetero függőleges komponense által a d hosszon végzett, és a vízszintes komponens által a táguláson végzett munkából adódik. A belső saját munka (W_b) a felületben felhalmozódott összes rugalmas energia (U) összegével egyenlo:

$$W_k = \left[\frac{1}{2} \cdot n_0 \cdot z_r(b) \cdot d - \frac{1}{2} \cdot n_0 \cdot \Delta r(b) \right] \cdot 2b\pi + \frac{1}{2} \cdot n_0 \cdot \Delta r(a) \cdot 2a\pi = \quad (11.a)$$

$$= \pi \cdot n_0 \cdot \left[b \cdot z_r(b) \cdot d_b + \varepsilon_\vartheta(a) \cdot a^2 - \varepsilon_\vartheta(b) \cdot b^2 \right]$$

$$W_b = \int_a^b U \cdot 2r \mathbf{p} \cdot \sqrt{1 + z_r(r)^2} \cdot dr, \quad \text{ahol} \quad U = \frac{1}{2} [\mathbf{e}_a \cdot N_a + \mathbf{e}_J \cdot N_J]. \quad (11.b)$$

Az egyenletekben b -vel a felső peremgyuru, a -val az alapkör sugarát jelöltük (1. ábra).

A (11.a-b) egyenletekkel kifejezett munkák egyenlőségéből meghatározható a keresett d feszítési út. Ehhez azonban át kell írni mindkét kifejezést a redukált feszültség (n_0) és a felületet leíró $z(r)$ függvény segítségével.

Az átalakítás után a külső virtuális munka alakja az alábbi lesz:

$$W_k = -n_0 \cdot \pi \cdot C \cdot a \cdot d + \frac{n_0^2 \cdot \pi}{t} \cdot (E(a) - E(b)), \quad (12)$$

ahol az $E(a)$ ill. $E(b)$ jelölések megegyeznek a (10)-ben szereplő $E(r)$ $r = a$ ill. $r = b$ helyettesítési értékeivel.

A belső munkához először a rugalmas energiát kell átírni kezelhetőbb alakra:

$$\mathbf{e}_a \cdot N_a = \frac{n_0^2}{E_a \cdot t} \cdot \left[\frac{r^2 + C^2 \cdot a^2}{r^2} - \mathbf{n}_a \right],$$

$$\mathbf{e}_J \cdot N_J = \frac{n_0^2}{E_J \cdot t} \cdot \left[\frac{r^2}{r^2 + C^2 \cdot a^2} - \mathbf{n}_J \right],$$

majd el kell végezni a parciális integrálást.

Ha ezt követően felírjuk az energia-egyensúlyt, és az egyenlőségből kifejezzük d -t, végeredményül a következő alakot kapjuk:

$$d = \frac{-n_0}{C \cdot a \cdot t} \cdot \left[\frac{A(r)}{E_\alpha} + \frac{B(r)}{E_\vartheta} - \left(\frac{v_\alpha}{E_\alpha} + \frac{v_\vartheta}{E_\vartheta} \right) \cdot D(r) - E(r) \right]_a^b, \quad (13)$$

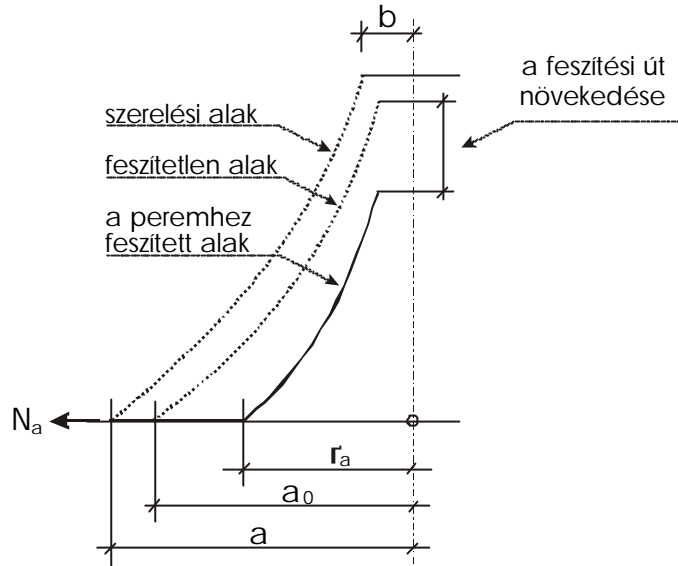
ahol a képletben szereplő $A(r)$, $B(r)$, $D(r)$, ill. $E(r)$ jelölések megegyeznek a (10) alatti alakokkal.

A (13) egyenletről adott geometria mellett a belső gyűrű azon magasságkülönbsége számítható ki, mely ahhoz kell, hogy a feszültségmentes alakból adott *Pelikán*-féle feszültség-állapothoz tartozó alakot kapjunk.

4. A PEREMEK EMELÉS ELŐTTI FESZÍTÉSE

Az előző szakaszban azzal az egyszerűsítő feltevéssel éltünk, hogy a körsátor teljes feszítése elvégezhető a peremek függőleges irányú eltávolításával. Az energiamérleg felírásakor azonban azt is figyelembe vettük, hogy a peremkörök sugara a feszített állapotban eltér a feszítetlen sátor peremeinek sugarától. Ahhoz, hogy a sátor a felső peremkör elmozdítása után valóban a tervezett állapotba kerüljön az szükséges, hogy a peremeit még az emelés előtt a végállapotnak megfelelő sugarú körökre feszítsük. Ez csak úgy képzelhető el, hogy a sátor a peremhez közeli sávja az alakváltozások következtében sík-membráná fesszül ki, ellenkező esetben ugyanis zérustól különböző N_a peremerővel, ill. metszeterővel a szerkezet globális egyensúlya nem állhat fenn. A peremsávok (síkba terülő sávok) síkba terülése a 2. ábrán látható módon lecsökkenti azt a magasságot, ameddig a felső kör belső erők keletkezése nélkül felemelhető, azaz megnöveli az előző szakaszban vizsgált feszítési út d hosszát. (Az ábrán az egyszerűség kedvéért csak az alsó peremkör emelés előtti feszítésének a hatását mutatjuk meg.)

Vizsgáljuk tehát, hogy ha a sátor szabás szerint a_0 sugarú peremét rugalmas megnyújtással ráfeszítjük a szerelési alak a sugarú peremgyurujére, ehhez milyen nagyságú - vízszintes - N_a peremerot kell alkalmaznunk, továbbá hogy milyen széles peremsáv kerül ennek során sajátfeszültségi állapotba.



2. ábra: A meridián állapotváltozásai

Jelöljük a deformálatlan állapotban r polársugarú felületi pont helyét a vízszintes síkba terülo ponyvasávban \bar{r} -rel. A két polársugár kapcsolata a következő:

$$\bar{r} = r \cdot (1 + \mathbf{e}_J), \quad (14)$$

ahol \mathbf{e}_J a gyuruirányú fajlagos megnyúlás.

A meridián \mathbf{e}_a megnyúlását írjuk fel a ds_0 hosszúságú deformálatlan meridián-szakasz hosszváltozása alapján. A deformálatlan állapotban:

$$ds_0 = dr \cdot \sqrt{1 + z_r^2},$$

ahol z a szabási alakfüggvény, a deformált állapotban pedig

$$ds = d\bar{r} = d[r \cdot (1 + \mathbf{e}_J)] = (1 + \mathbf{e}_J) \cdot dr + r \cdot \frac{d\mathbf{e}_J}{dr} dr.$$

Az ívhossz-változás alapján

$$\mathbf{e}_a = \frac{ds - ds_0}{ds_0} = \frac{1 + \mathbf{e}_J + r \cdot \frac{d\mathbf{e}_J}{dr}}{\sqrt{1 + z_r^2}} - 1. \quad (15)$$

A sávban működő metszeterok egyensúlyához fenn kell állnia a körszimmetrikus síkbeli feszültségállapot alapján felírható

$$N_J = \frac{d}{d\bar{r}}(N_a \cdot \bar{r}) = \frac{d}{dr} [N_a \cdot r \cdot (1 + \mathbf{e}_J)] \left[1 + \mathbf{e}_J + r \cdot \frac{d\mathbf{e}_J}{dr} \right]^{-1} \quad (16)$$

egyenlőségnek.

Ha a fenti egyenletben N_a -t és N_J -t az ortotróp szilárdsági összefüggés alapján kifejezzük \mathbf{e}_a és \mathbf{e}_J segítségével, majd \mathbf{e}_a helyére a (15) kifejezést írjuk, \mathbf{e}_J -ra egy meglehetősen bonyolult, nemlineáris másodrendű differenciálegyenletet kapunk. Ennek megoldása az

$$\mathbf{e}_J(a_0) = \frac{a - a_0}{a_0}$$

peremfeltételhez csatolt

$$\mathbf{e}_J(r_a) = 0 \text{ helyén } \mathbf{e}_a = 0$$

ún. utólagos peremfeltétellel tehető matematikailag határozottá. Az utólagos peremfeltétel helyeként adódó r_a a hozzáfeszítés során feszültségmentes állapotban maradó tartomány határcörének a sugara.

A kényelmetlen peremfeltételekkel is komplikált vizsgálat radikálisan egyszerűsíthető, ha feltesszük, hogy a ráfeszítéskor síkba terülő ponyvasáv $a - r_a$ szélessége nagyságrenddel kisebb a peremkör a sugaránál. Ez egyrészt lehetővé teszi, hogy a sávban z_r értékét konstansnak tekintsük, másrészt azt, hogy \mathbf{e}_J mellett elhanyagolhassuk a sugárirányú eltolódásban \mathbf{e}_a szerepét, hiszen az előbbi hozzávetőleg a , az utóbbi pedig $a - r_a$ "nagyítással" érvényesül.

Az egyszerűsítések eredményeként a síkba feszülő peremsávot a feszültségmentes tartománytól elválasztó kör sugarát (r_a) az

$$a - r_a = (a_0 - r_a) \cdot \sqrt{1 + z_r^2} \quad (17)$$

egyenlet felhasználásával számíthatjuk ki, a feszítési útnak az alsó perem illesztéséhez tartozó megnövekedését pedig a

$$\mathbf{d} d_a = (a - r_a) \cdot z_r \quad (18)$$

képlet adja. N_J metszetero számítására az $r_a < r < a$ síkba feszülő sávban az

$$N_J = E_J \cdot t \cdot \frac{a - a_0}{a_0} \cdot \frac{r - r_a}{a - r_a} \quad (19)$$

képletet használhatjuk. N_a peremerot a gyuruirányú feszültségek ismeretében a radiális terhelésű gyuruk vizsgálatára használt képlet (a "kazánképlet") átrendezésével

$$N_a = E_J \cdot t \cdot \frac{a - a_0}{a_0} \cdot \frac{a - r_a}{2 \cdot a} \quad (20)$$

formában közvetlenül is felírhatjuk, de ugyanezt az értéket kapjuk N_a peremértékeként a síkbeli feszültségi állapot egyensúlyi feltétele alapján meghatározható

$$N_a = E_J \cdot t \cdot \frac{a - a_0}{a_0} \cdot \frac{(r - r_a)^2}{2 \cdot r \cdot (a - r_a)}$$

képlettel is, ha r helyére a -t helyettesítjük be.

Függőleges peremérítőju ponyva esetén a vízszintesre terülo sáv szélessége és a feszítési út ennek megfelelő növekedése $a - a_0$, a peremerot pedig úgy kapjuk, ha a (20) képletben r_a helyére a_0 -t teszünk. Vízszintes peremérítőju ponyva esetén a képletek érvényüket veszítik, mert csak a szabásalak részletesebb vizsgálatával dönthető el, hogy az egyszerűsítések alapjául szolgáló feltételezés valóban fennáll-e.

ÖSSZEFOGLALÁS

Körszimmetrikus *Pelikán*-felületek esetére levezettük azokat az összefüggéseket, melyekkel a sátor szerelési alakjának ismeretében visszaszámítható a körsátor feszültségmentes alakja. Ezzel a módszerrel lehetővé vált a szabásminta és a feszítési út meghatározása is.

KÖSZÖNETNYILVÁNÍTÁS

A kutatást - Sátorszerkezetek címmel - az Országos Tudományos Kutatási Alap támogatja (OTKA szám: T32 057), melyért a szerzők ezúton is köszönetüket fejezik ki.

IRODALOM

- [1] Hegedus I.: Héjszerkezetek, Egyetemi tankönyv, *Muegyetemi Kiadó*, Budapest (1998)
- [2] Hincz K., Gáspár Zs.: "The Effect of the Approximations Used During Generation of Membrane Cutting Pattern", *Archives of Civil Engineering* XLV, 2. pp. 221-230 (1999)
- [3] H. Pálfalvi D., Hegedus I.: "A forgásszimmetrikus ponyvaszerkezet meridiángörbájének alakjáról", *A BME Hidak és Szerkezetek Tanszéke Tudományos Közleményei*, Budapest 2001, HU ISSN 1586-7196, pp. 63-70 (2001)
- [4] Kollár L. (szerk.): *Ponyvaszerkezetek*, Muszaki Könyvkiadó, Budapest, 1987
- [5] Korn, G.A. – Korn, T.M.: *Mathematical Handbook for Scientists and Engineers*, New York, 1968
- [6] Pálfalvi D., Hegedus I.: "On the statical problems for determination of the shape of prestressed tents", *Periodica Polytechnica Ser. Civ. Eng.*, Vol.42, No.2, pp. 163-169 (1998)